

### (S-3) 地震時、矢板岸壁に作用する振動土圧

九大 工員 松尾春雄  
山口大 工員 大原資生

§.1 図-1 のよう  $\Gamma$ 、下端はほ  $\Gamma$  完全は固定端とし、上部支点を单纯支持とした矢板模型に作用する振動土圧を振動台によって実験的に求めてみた。

矢板模型は図-1 に示すように、側壁の影響を除くために 3 分割され、測定は中央の矢板について行つた。

矢板としては各種の厚さのアルミ板を用いた。また、上部支点の変位量は剛度の異なるエッジリングを取替えることにより変化して実験を行つた。

裏込には粘性土を用い、これをほ  $\Gamma$  最適含水比に近い潤滑状態で、一層の厚さがほ  $\Gamma$  5 cm とほ  $\Gamma$  ように 6 層にわけてタンパーで締め固めて作つた。(裏込の全深さは 30 cm である)

その際の裏込土の見掛け密度は平均 1.40 g/cm<sup>3</sup> (潤滑)、隙間比 1.05、含水比 26.0% である。

§.2 振動土圧の測定には Chelotaroff が行つたように、矢板の中心線上に 3 cm 間隔で計 9 枚のセンサー (標点距離 6 mm) を接着し、各点の応力を測定した。

振動土圧であるので、応は振動台の加速度と共にペンオシロに記録した。このようにして得た応の鉛直分布は図-2 のとおりである。これは震度 0.2 の場合で、(a) ときの上部支点の変位量は (a) が  $9 \times 10^{-4}$  mm, (b) が  $96 \times 10^{-4}$  mm である。

なお、実験の際の振動台の周期は 0.28 秒である。

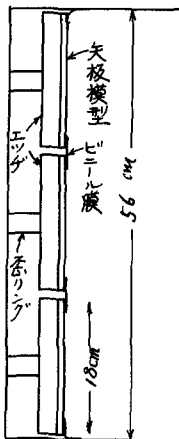
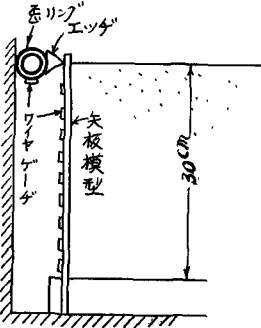


図-1

§.3 図-2 の結果より応の 2 次の微係数より振動土圧を求めるのであるが、測点数が少ないので、次のようにして。

いま、振動土圧  $\sigma$  を次のようになす。

$$\sigma = A_1 \sin \frac{\pi}{2} \gamma + A_2 \sin \frac{3\pi}{2} \gamma + \dots + A_8 \sin \frac{15\pi}{2} \gamma \quad (1)$$

但し  $\gamma = y/H$  ( $H$ :矢板の全高 30 cm,  $y$ : 深さ方向の座標軸)

(1)式を 2 回積分して モーメントを求めれば

$$M = A + A_0 \gamma - \left(\frac{2H}{\pi}\right)^2 [A_1 \sin \frac{\pi}{2} \gamma + \frac{1}{3^2} A_2 \sin \frac{3\pi}{2} \gamma + \dots + \frac{1}{15^2} A_8 \sin \frac{15\pi}{2} \gamma] \quad (2)$$

が求められる。

一方、 $E$ を矢板のヤング率、 $W$ を矢板の断面係数とすると、

$$M = E W \epsilon \quad (2)$$

以上の関係が成立つ。

図-2でわかるように、9ヶ所の点のその測定値があるので、(2), (3)式と一緒に式に上部支点でのモーメント  $M(\eta=1.0) = 0$  なる条件式を加えて計10ヶの連立方程式が得られる。

これを解くことにより、未知数  $A_1, \dots, A_8$  がわかり、(1)式の値を知ることが出来る。

3,4 2のようにして求められた振動土圧の分布は図-3のようなもので、上部支点の剛度のちがいの影響が非常に大きいことがわかる。以上

